

建設省土木研究所 正会員・土屋 脊彦

建設省土木研究所 正会員 石崎 勝義

建設省土木研究所 関沢 邦明

1. まえがき 最近 Sand Wave の発生機構や性質についての研究が盛んにすすめられている。Sand Wave のうち rippleについてはそれが管内や砂漠でも出来る等の理由で表面波とは無関係と思われるが、Fr数の大きい流れにおいて生ずる Sand Wave についてはその形態や波長を定める要素として表面波が関与しているものと思われる。このことは砂連の周波数スペクトルについての「 $-3/2$ 乗則」が水流との interaction の強い領域では -2 乗則に移行するという事実(日野 1968)によってあらわれている。表面波を考慮に入れて現象をモデル化しようとする試みは Anderson, Kennedy が Sand Wave の発生限界や形態について、著者らが砂堆の波長について、田中氏が蛇行の波長について行っており現象を説明することにかなり成功している。しかしこれらの考え方には現状では仮説的な色合も残っているので実験に表われる事実と比較しながらその適用性を検討して行かなければならぬ。

前報においては、砂堆の波長はそれに伴って生ずる水面の波による流砂量の縱断方向変化の波長と一致する必要があるとして次のようほ関係を求めた。

$$Fr = \sqrt{\frac{1}{Kh} \tanh Kh} \quad (1)$$

$$Fr = \sqrt{\frac{2}{Kh} \tanh 2Kh} - \sqrt{\frac{1}{Kh} \tanh Kh} \quad (2)$$

$$Fr = \sqrt{\frac{3}{Kh} \tanh 3Kh} - \sqrt{\frac{2}{Kh} \tanh 2Kh} \quad (3)$$

$$\text{ここで } K = \frac{2\pi}{\lambda}$$

入: 砂堆波長
h: 平均水深

(2)は砂堆波長を基準として $1/\sqrt{Kh}$

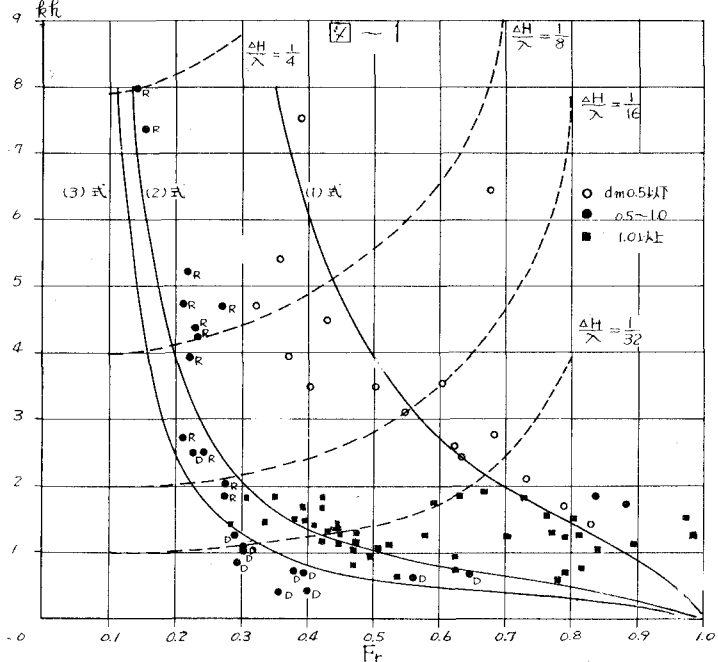
波長と $1/2$ 波長の水面波が合成されたとき、(3)は $1/2$ 波長と $1/3$ 波長の水面波が合成されたときを求められる関係である。

これを図示したものが図-1 である。

著者らは今回砂堆の形状とその上を流れる水の表面形状を縦断方向に測定して表面波の存在をたしかめ、その性質を調べたので以下に報告する。

2. 実験装置と方法

実験水路は長さ40m、幅0.7mの鋼製(側面から入張り)水路を測定区间と14mとした。河床



には約3cmのほぼ一様な砂を約20m区間にわたって敷いた。

実験は流量を 110.75 l/sec として勾配をかえて次の4 case を行った。

case 勾配 平均水深 Fr_{ca}

case	勾配	平均水深	Fr_{ca}
1	1:100	17.5	0.67
2	1:200	17.1	0.71
3	1:300	19.0	0.61
4	1:400	21.8	0.49

河床及水面の測定は音響測深器と流れ方向に移動させて行った。

移動の速度は 18.65 cm/sec に統一した。

測定値はペン書きオシログラフに書かせ読みとり間隔 3cm で自己相関係数を算出した。

3. 実験結果と考察

図2～5は各case の河床形、水面形、相関係数を図示したものである。

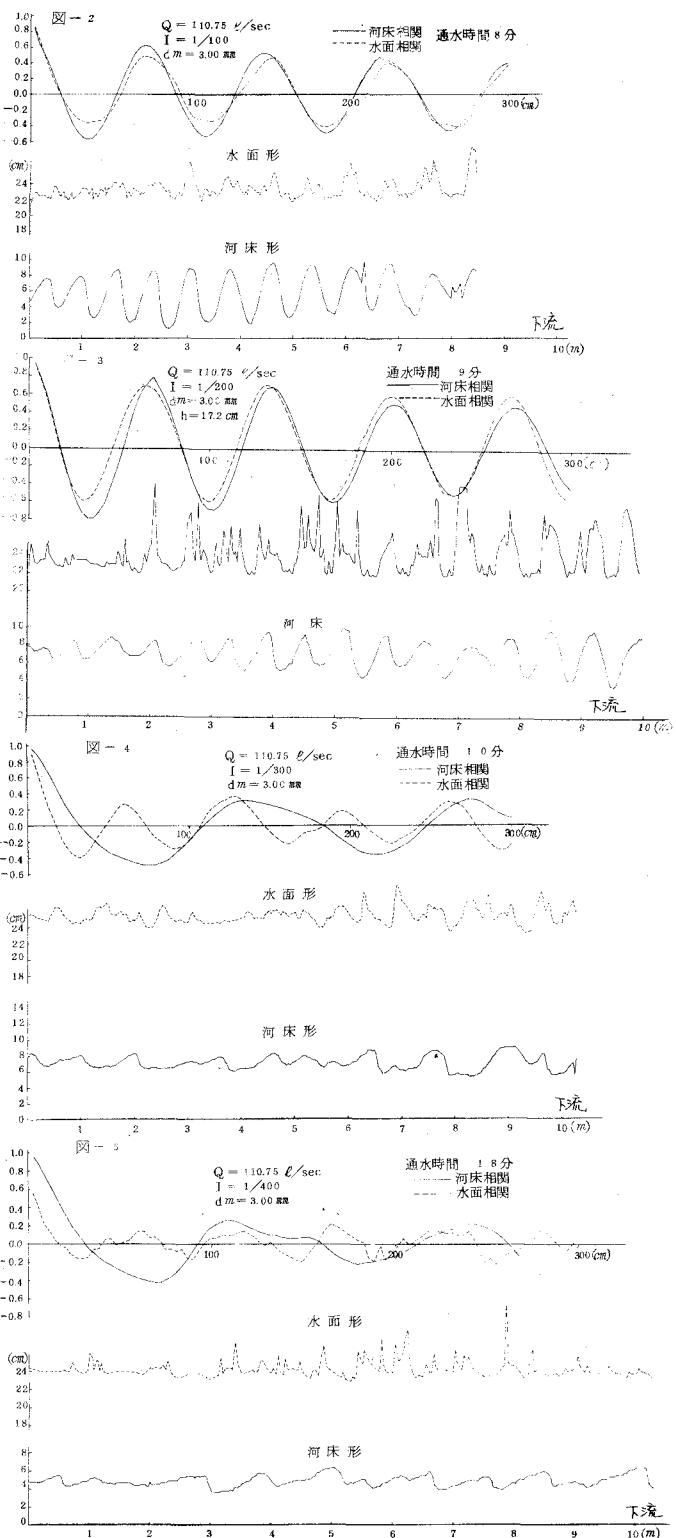
式(1)～(3)より砂堆の波長を求むると下のようになる。

表 1

case	実測値 (cm)	計算値 (cm)	式(1)	式(2)	式(3)
1 (8分)	72	51°	157	275	
2 (9分)	77	56°	178	289	
3 (10分)	140	45	149°	265	
4 (10分)	110	33	127°	220	

実測値と計算値を比較するとcase 1, 2は式(1)によつて説明される。こ

れは砂堆1波長に表面波が1波長存する場合とちつて図2, 3はそのようないふるいである。case 3, 4は式(2)によつて説明される。これは砂堆1波長に表面波が2波長存在する場合であつて図4, 5はそのようないふるい



る。

次に図-6はcase4の実験の各時刻における砂堆の山の位置を示したものである。この図で実験開始後30分及90分のときの波長を見ると30分後の場合は式(2)の計算値を説明され、上流側に式(3)で説明されるものがある。90分後の場合は殆んど式(3)で説明される。図-7は30分後の相関係数であつて大体砂堆1波長の中に水面波が2波長と打っていいるがときどき数波長含まれる場合があらわれるのである。式(3)のときは1波長見られるばかりであるから興味深い。図-8は90分後の相関係数であつて全体に相関がはっきりしなくなっているが48分で3波長、97分で数波長(6波長?)となつており式(3)の場合の傾向を見せている。

以上河床と水面形の実測値と前報で導いた著者らの考え方方に沿つてみたが、砂堆の波長の大きさと砂堆波長・水面波長の関係をより説明できるようと思われる。

次に図-9はcase3の実験の開始直後の相関である。通水1分後の河床を見ると波長50cm程度の波が認められる。これは式(1)で説明される波長である。しかし砂堆の発達とともに波長が大きくなり式(2)で説明される波長に移行してゆく。この点は次に述べるように砂堆の波長が砂堆の高さの影響も受けことと関連しているものと思われる。なお1分後の水面相間に卓越した波長がみられないがこれは流れが導流になつていいことを反映したものである。

図-6 砂堆山の位置の変化

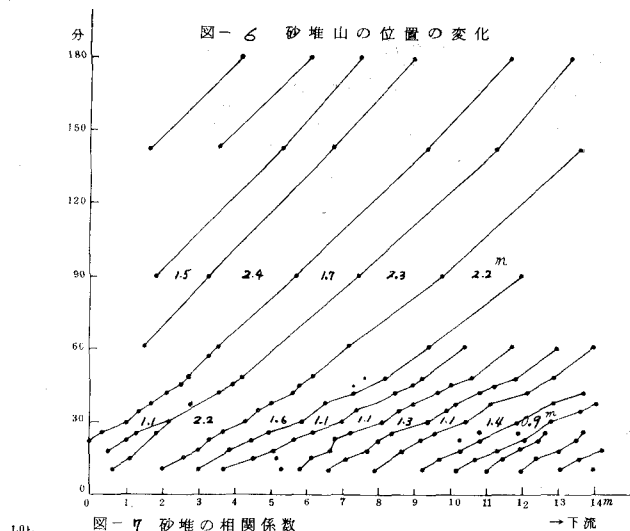


図-7 砂堆の相関係数

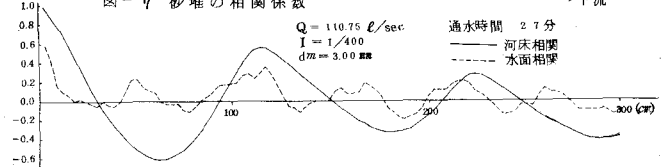


図-8 砂堆の相関係数

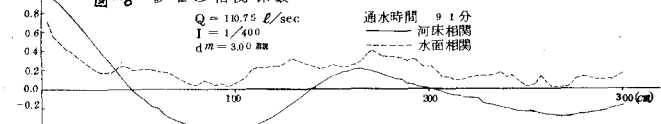
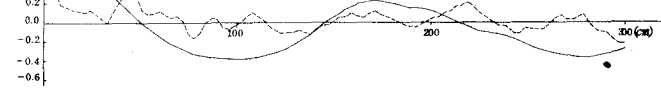


図-9 砂堆の相関係数
Q = 110.75 l/sec
I = 1/400
dm = 3.00 mm
通水時間 91分
— 河床相関
--- 水面相関



図-9 砂堆の相関係数
Q = 110.75 l/sec
I = 1/400
dm = 3.00 mm
通水時間 91分
— 河床相関
--- 水面相関



4. 砂堆波長の限界条件

以上の検討から今回の実験では砂堆の波長は式(1)～(3)のいずれかで説明できることがわかつたが、ではこの式のいずれが適用されるかを定める条件は何であろうか。図-1を見るとFr数が大きいときは式(1)が適用されFr数が小さくなるに従って式(3)に移行してくるよう見える。式(1)～(3)で求められる波長はいずれもFr数の減少とともに小さくなる。そこでこの現象は砂堆の波長が一定値以下にからめようとする制約が存在していることを予想させる。実験では大きい砂堆の下流の砂堆が次第に小さくなつてゆくことがときどき見られる。そこで流れ方向に連続する砂堆の相互影響を考えてみよう。

足立の行った模粗度の実験によるとその影響の度合は横間隔を λ 、横高さを a とするときで表現される(1964⁴⁾)。これを今回の砂堆にあてはめてみると影響の度合を示す表示量として $\Delta H/\lambda$ を考えられ、砂堆の波長は $\Delta H/\lambda$ が一定の値以下になると制約されていくことが予想される。ここに ΔH は砂堆の波高であり前報によつて次のように与えられ、係数 α は実験値よりほぼ0.9に等しいことがわかつている。

$$\frac{\Delta H}{\lambda} = Fr^2 \left(1 - \frac{1}{\beta^2}\right) + 2(1-\beta) \quad \text{ここで } \lambda_m \text{ は平均水深} \quad (4)$$

そこで $\Delta H/\lambda = C$ (Cは定数)という条件を図-1のFr-λ平面上に移しかえると式(5)のようになる

$$k\lambda = \frac{\Delta H}{\lambda} \frac{2\pi}{Fr^2 \left(1 - \frac{1}{\beta^2}\right) + 2(1-\beta)} \quad (5)$$

式(5)と $\Delta H/\lambda$ をパラメータとして表示すると図-1の点線の如くである。砂堆の波長を制約している $\Delta H/\lambda$ の値を図からみると必ずしも一定にはつてないが $C=1/16 \sim 1/32$ 程度となる。これは足立の実験で孤立粗度流から不完全干渉流に移行する領域であつて納得のゆく限界条件と言えよう。

おわりに

以上の検討から表面波の性質がいくらか明らかになつたが、更に管内のように表面波が存在しないときにどのような砂堆が生ずるか等の検討をすすめて行きたいと考えている。

文献

- 1) 日野幹雄「防護スペクトルの平衡領域について」東京工業大学土木工学科研究報告No.4 (1968)
- 2) 土屋・石崎「Sand Waveに関する研究—砂堆の形状について—」第1回水理講演会 (1967)
- 3) 田中祐一郎「Sand Wave上の流れについて」京都大学防災研究所年報第11号 (1968)
- 4) 足立昭平「人工粗度の実験的研究」土木学会論文集第104号 (1964)